

# بررسی و مقایسه آتشفشن‌های میوسن-کواترنری در شمال باختیر ایران، قفقاز کوچک و جنوب خاور آناتولی: ژئوشیمی، خاستگاه و جایگاه زمین‌ساختی

جلیل قلمقاش<sup>۱</sup> و راضیه چهارلنگ<sup>۲</sup>

<sup>۱</sup> استادیار، پژوهشکده علوم زمین، سازمان زمین‌شناسی و اکتشافات معدنی کشور، تهران، ایران

<sup>۲</sup> کارشناسی ارشد، پژوهشکده علوم زمین، سازمان زمین‌شناسی و اکتشافات معدنی کشور، تهران، ایران

تاریخ پذیرش: ۱۳۹۱/۰۵/۲۱ تاریخ دریافت: ۱۳۹۱/۱۱/۰۹

## چکیده

در این نوشتار آتشفشن‌های سهند، آرارات، نمروت، سوان، تنورک و قفقاز کوچک با سن میوسن پایانی - کواترنری در منطقه برخورد صفحات قاره‌ای عربی - اوراسی مورد مطالعه قرار گرفته‌اند. این آتشفشن‌ها در چند مرحله مواد آذرآواری و جریان‌های گدازه‌ای با ترکیب بازالتی تا ریولیتی را فوران کرده‌اند. این سنگ‌های آتشفشنی ماهیت کالک‌آلکالن (سهند) تا آلکالن (تنورک) دارند. تهی شدگی از عناصر Nb, Ta, Ti, Y و غنی شدگی از عناصر Rb, Sr, K, Ba, Ce, Th در نمودارهای چندعنصری بهنجارشده با ترکیب گوشه اولیه از ویژگی‌های ژئوشیمیایی معمول در این سنگ‌های آتشفشنی است. همچنین غنی شدگی از LREE در نمودارهای الگوی پراکندگی عناصر خاکی کمیاب بهنجارشده با کندریت همه سنگ‌های آتشفشنی منطقه نمایان است. غنی شدگی سنگ‌های آتشفشنی سهند و قفقاز کوچک از HREE و تهی شدگی بیشتر آنها از HREE (نسبت به دیگر سنگ‌های آتشفشنی مورد مطالعه)، نشانگر تشکیل ماقمای مادر سنگ‌های گارتنت لرزولیتی گوشته است. برخلاف آنها، سنگ‌های آتشفشنی خاور آناتولی از ذوب بخشی سنگ‌های گوشتی‌ای با ترکیب اسپینل لرزولیت ایجاد شده‌اند. وجود بی‌هنجاری منفی عناصر Nb و Ta در نمودارهای چندعنصری بهنجارشده با گوشه اولیه، نشانگر وجود مؤلفه ژئوشیمیایی مربوط به محیط فرورانش پیش از برخورد در ماقمای مادر سنگ‌های آتشفشنی مورد مطالعه است. مقادیر بالای عناصر La, Th, Ce, Rb در سنگ‌های آتشفشنی مورد مطالعه نشانگر الودگی پوسته‌ای است که در اثر جایگیری ماقمایی یادشده در پوسته و رخداد فرایندهای همزمان هضم، بتلوربخشی و آلایش با مواد پوسته‌ای ایجاد شده‌اند.

**کلیدواژه‌ها:** میوسن-کواترنری، کالک‌آلکالن، پس از برخورد، سهند، قفقاز کوچک، خاور آناتولی، ترکیه.

\*نویسنده مسئول: جلیل قلمقاش

E-mail: ghalamghash@yahoo.com

## ۱- مقدمه

آتشفشن‌های شمال باختیر ایران، روی سنگ‌های کهن‌تر فوران کرده و مخروطهای مرکبی را پدید آورده‌اند. آتشفشن‌های سهند و سبلان روی واحدهای سنگی پالتوزوییک، مزوزوییک و ترشیری فعالیت کرده و بیرون آمده‌اند. آتشفشن سهند به طور کلی روی سنگ‌های کنگلومرا، مارن، ماسه‌سنگ، شیل و آهک قرار گرفته است (معین وزیری و امین سیجانی، ۱۳۵۶). کهن‌ترین فعالیت آتشفشن سهند، بر پایه مطالعات معین وزیری و امین سیجانی (۱۳۵۶) بدروش بتاسیم-آرگون ۱۲ میلیون سال پیش (میوسن پایانی) رخ داده است. این پژوهشگران آخرین فوران‌های سهند را مربوط به ۱۴۰ تا ۴۰۰ هزار سال پیش (اوخر پلیستوسن) دانسته‌اند.

منطقه قفقاز به دو بخش قفقاز کوچک و قفقاز بزرگ تقسیم می‌شود (شکل ۱). قفقاز بزرگ شامل آتشفشن‌هایی همچون کازبیک است که در گرجستان قرار دارد و در این مطالعه بررسی نشده است؛ در این مطالعه تنها آتشفشن‌های قفقاز کوچک به دلیل نزدیکی به آتشفشن‌های شمال باختیر ایران و خاور ترکیه مورد توجه قرار گرفته است. از دید سنی نیز، سنگ‌های آتشفشنی قفقاز کوچک را می‌توان به دو گروه (۱) میوسن پایانی - پلیوسن آغازی و (۲) پلیوسن پایانی - کواترنری رده‌بندی کرد. آتشفشن‌های کواترنری در این منطقه، بیشتر در بخش خاوری کمرنده و به صورت مراکزی با ترکیب بازالتی تا اسیدی نمایان هستند. مخروطهای و گندلهای آتشفشنی بزرگ در این منطقه در امتداد گسل‌های اصلی قرار دارند (Dilek et al., 2010). آتشفشن‌های نوژن-کواترنری قفقاز کوچک شامل کاراباخ و کلادک در آذربایجان و آراغاتس، گقاما، وردنبیز، سیونیک و کافان در ارمنستان هستند (Pearce et al., 1990; Imamverdiyev & Mamedov, 1996; Yilmaz et al., 1998; Keskin, 2003; Arutyunyan & Lebedev, 2007; Dilek et al., 2010). آتشفشن‌های قفقاز کوچک در آذربایجان و ارمنستان روی واحدهای سنگی پالتوزوییک، مزوزوییک و ترشیری از جنس دریت،

ایران، قفقاز کوچک و آناتولی در مرز صفحات قاره‌ای اوراسی و افریقا - عربی و شمال زمین درز اقیانوس تیس جوان قرار دارد. اقیانوس تیس جوان در فاصله زمانی ژواراسیک تا ائوسن بسته شده است. بر پایه مطالعات جدید و همچنین بر پایه: (۱) سن گذر از رسوب گذاری کربناتی تا رسوب گذاری فیلیشی - مولاسی در بخش رسوبی حاشیه غیرفعال در پنهان راندگی بیتلیس، (۲) توقف ناگهانی رسوب گذاری دریایی خاور آناتولی در این زمان و (۳) پایان آتشفشن‌های وابسته به فرورانش، زمان برخورد پایانی میان صفحات اوراسی و افریقا - عربی ۱۲ میلیون سال تعیین شده است (Sengor & Kidd, 1979; Sengor & Yilmaz, 1981). پیشترین زمان پیشنهادشده برای این برخورد توسط Aktas & Roberston (1984) و Michard et al. (1984) (Dilek et al., 2010). Soisson et al. (2010) و Kaymakci et al. (2010) این صفحات قاره‌ای در زمان ائوسن رخ داده است. برخورد صفحات موجب دگرگونی و فعالیت ماقمایی گسترده در حاشیه فعال قاره‌ای (صفحه اوراسی) شده است (Pearce et al., 1990).

فعالیت ماقمایی پس از برخورد به صورت فعالیت‌های آتشفشنی میوسن پایانی - کواترنری و به شکل مخروطهای آتشفشنی جوان به خوبی در منطقه برخورد دو صفحه اوراسیا و عربی نمایان است، که از میان آنها می‌توان به آتشفشن‌های سهند و سبلان در شمال باختیر ایران، قفقاز کوچک در آذربایجان و ارمنستان و نمروت، سوان، آرارات و تنورک در جنوب خاوری ترکیه اشاره کرد. در این مقاله با توجه به فعالیت این آتشفشن‌ها در زمان‌های مشابه و موقعیت زمین‌شناسی یکسان، سعی شده است آتشفشن‌ها در آتشفشن‌های نوژن-کواترنری قرقاچه‌ها در آتشفشن‌های منطقه، تا مقدار ۱۰٪ سنگ‌شناسی، ژئوشیمی و منشأ گدازه‌ها در آتشفشن‌های منطقه، چگونگی شکل گیری آنها را در شود.

بافت این سنگ‌ها پورفیریتیک، میکرولیتیک و پیلوتاکسیتی است. در داسیت‌های سهند هورنبلند سبز، هورنبلند قهوه‌ای و بیوتیت وجود دارد. در این سنگ‌ها افزون بر فلدسپارهای پلاژیوکلاز، سانیدین در ریوداسیت و آنورتوز در لاتیت نیز دیده می‌شود (زنبلعی، ۱۳۵۶). ایگنمنبریت‌های سهند سنگ‌هایی بررنگ سفید تا صورتی و متشکل از قطعات گرد تا بیضی شکل پومیس، کانی‌های مجزا و خردش سنگ‌های مختلف هستند که توسط خمیره‌ای از همین مواد بهم جوش خورده‌اند. پلاژیوکلاز، آمفیبیول و بیوتیت کانی‌های موجود در ایگنمنبریت‌ها هستند. قطعات سنگی ایگنمنبریت‌ها بیشتر داسیتی هستند (غیری خرسقی، ۱۳۸۱). پومیس‌های سهند بررنگ سفید تا صورتی هستند که درشت‌بلورهای پلاژیوکلاز، آمفیبیول و بیوتیت در متن آنها نمایان است. بافت این سنگ‌ها ھیالوپورفیریک و گلومروپورفیریک است. به طور کلی بیشتر حجم پومیس را حفراتی تشکیل می‌دهد که دیواره میان آنها شیشه‌ای است. حفرات به شکل‌های کروی یا تقریباً کروی، بیضوی و تا حدودی کشیده دیده می‌شوند (معین وزیری و امین سبحانی، ۱۳۵۶، غیری خرسقی، ۱۳۸۱).

آندرزیت، داسیت، ریوداسیت و ریولیت سنگ‌های آتششکنی فقاز کوچک با سن میوسن پایانی- پلیوسن آغازی هستند. در این مجموعه، سنگ‌های مافیک وجود ندارند. این سنگ‌ها بیشتر دارای بافت پورفیریتیک هستند؛ درشت‌بلورهای آنها شامل پلاژیوکلاز، فلدسپار پتانسیک، هورنبلند، بیوتیت و اوژیت و کانی‌های فرعی آنها شامل مگنتیت، اسفن، آپاتیت و زیرکن است. بلور نخست هورنبلند و بیوتیت، کدرشدگی و نیز غنی شدگی آنها از مواد فرار نشانگر این است که منشأ این گروه در فشار بخار آب بالا بوده است. کلینوپیروکسن و آمفیبیول در این سنگ‌ها بیشتر Fe و Ca کمتری نسبت به سنگ‌های تراکی بازالت- تراکی آندزیت پلیوسن بالایی- کواترنری پایینی دارند که این موضوع نشان‌دهنده تبلور سنگ‌های میوسن بالایی- پلیوسن پایینی در دمای پایین است (Imamverdiyev, 2003). سنگ‌های این گروه به صورت دایکر رخمنون دارند و پراکندگی آنها در امتداد گسل‌های ژرف منطقه مانند لاجین- باشلیل (Lachin-Bashlybel) است. سنگ‌های آتششکنی فقاز کوچک با سن پلیوسن پایانی- کواترنری ترکیبی از ریولیت، تراکی ریولیت، تراکیت تا الیوین بازالت ساب آلکالن دارند. بافت این سنگ‌ها بیشتر پورفیریتیک است (Veliev et al., 2010). در مرکز فقاز کوچک فوران‌های آتششکن گقم ترکیبی از بازالت تا تراکی آندزیت را نشان می‌دهند.

آتششکن نمروت از گدازه‌های بازالتی، تراکیتی و ریولیتی پدید آمده است. بازالت‌های این آتششکن وزیکولار و پورفیریتیک هستند. درشت‌بلورهای آن شامل پلاژیوکلاز، کلینوپیروکسن و الیوین در خمیره‌ای از پلاژیوکلاز و مگنتیت است. تراکیت‌های دارای آندزین و کلینوپیروکسن با ساخت منطقه‌ای هستند و ریولیت‌ها نیز درشت‌بلور سانیدین و کمتر کلینوپیروکسن در یک خمیره شیشه‌ای دارند (Pearce et al., 1990). ترکیب سنگی آتششکن سوفان از بازالت تا ریولیت متغیر است هر چند فراوانی سنگ‌های حدواسط بیشتر است. سنگ‌های حدواسط بیشتر حفره‌دار و دارای پلاژیوکلاز با ساخت منطقه‌ای، سانیدین و کلینوپیروکسن هستند. بافت حفره‌ای در این سنگ‌ها فراوان است. ریولیت‌های سوفان درشت‌بلورهای پلاژیوکلاز سدیم دار با پهنه‌بندی و بیوتیت در خمیره نهان‌بلورین دارند (Pearce et al., 1990). گدازه‌های بازی تیره دارند که در یک خمیره غنی از پلاژیوکلاز، کلینوپیروکسن، الیوین و کانی‌های تیره دارند که در یک خمیره غنی از پلاژیوکلاز قرار دارند. سنگ‌های حدواسط، درشت‌بلورهای پلاژیوکلاز با ساخت منطقه‌ای و کلینوپیروکسن در یک خمیره غنی از پلاژیوکلاز دارند (Pearce et al., 1990). همچنین در سنگ‌های این آتششکن پلاژیوکلاز با بافت غربالی نیز دیده می‌شود (Kheirkhah et al., 2009).

گدازه‌های بازی تا حدواسط و محصولات آذرآواری سازنده‌های آتششکن آرارات هستند. الیوین، پلاژیوکلاز و کلینوپیروکسن سنگ‌های بازالتی را

بازالت، تراکی آندزیت، توف، فیلیش، سنگ‌آهک، ماسه‌سنگ، سرپانتینیت و پریدوتیت سرپانتینیتی مزوژوییک تشکیل شده‌اند (Dilek et al., 2010). از میان آتششکن‌های فقاز کوچک، آتششکن آرآگاتس روی سنگ‌های دگرگونی کهن، آهک که تاسه، سنگ‌های رسوبی- آتششکنی، گرانیتوییدها و گابروهای پالژوژوییک و کرتاسه قرار گرفته‌اند (Lebedev et al., 2011). آتششکن گفاما (Geghama) در مرکز فقاز کوچک قرار گرفته است که از خاور توسط دریاچه سوان محدود می‌شود. سن کهن ترین ساختارهای سنگی این آتششکن با ترکیب میانه تا اسیدی، ۵ تا ۷ میلیون سال (بهروش K/Ar) تعیین شده است (Arutyunyan & Lebedev, 2007). سن سنجی ایزوتوپی آتششکن آرآگاتس سه فاز فورانی را نشان می‌دهد که قدیمی ترین آن ۹۰۰ هزار سال و جوان ترین فعالیت آن ۴۰۰ هزار سال سن دارد (شکل ۲). (Lebedev et al., 2011).

آتششکن‌های جنوب خاور آناتولی شامل آرارات، تندورک، نمروت و سوفان روی واحدهای مزوژوییک و پالژوژوییک شامل گنیس، آمفیولیت، افیولیت‌های تیس، فیلیش، آهک و میکاشیست قرار گرفته‌اند (Dilek et al., 2010). آتششکن‌های لایه‌ای (استراتوولکان)، نمروت و سوفان در خاور آناتولی و همچنین تندورک و آرارات در جنوب خاوری ترکیه (شکل ۱) و کارس- اروزوم در شمال آن، مهم ترین آتششکن‌های ترشیری ترکیه به شمار می‌آیند. فعالیت آتششکن‌های انفعجاري در خاور آناتولى در میوسن میانی تا کواترنری رخ داده است و طیفی از سنگ‌های بازالت تا ریولیت را در بر می‌گیرد (Ekici et al., 2009) و سطح دریاست. این آتششکن یک کالدرای ریزشی و یک دریاچه کالدرای دارد (Keskin, 2003). نمروت یک آتششکن لایه‌ای پلی ژنتیک با ارتفاع ۳۰۵۰ متر از سطح دریا دریاست. سن آخرین فوران آن بهروش پتاسیم- آرگون (Yilmaz et al., 1998). میلیون سال بهروش سن سنجی رادیومتری تعیین شده است (Nagao et al., 1989). آتششکن لایه‌ای سوفان با ارتفاع ۴۴۳۴ متر از سطح دریا توسط مواد آذرآواری پوشیده شده است. سن آخرین فوران‌های این آتششکن بهروش پتاسیم- آرگون ۱/۰ میلیون سال تعیین شده است (Nagao et al., 1989). گروهی از مخروطهای فرعی و گبدهای کوچک در پیرامون آتششکن سوفان نمایان است (Yilmaz et al., 1998). آتششکن تندورک ۳۵۰۰ متر از سطح دریا ارتفاع دارد. سنگ‌شناسی چیره در این منطقه بازالت و تراکی آندزیست است (Nagao et al., 1989). زمان آخرین فوران این آتششکن ۰/۱ میلیون سال بهروش پتاسیم- آرگون تعیین شده است (Nagao et al., 1989). آرارات بزرگ ترین آتششکن لایه‌ای در جنوب خاوری ترکیه است که دو قله به ارتفاع ۵۱۶۵ (آرارات بزرگ) و ۳۹۰۳ متر (آرارات کوچک) از سطح دریا دارد. این آتششکن در بر دارنده گدازه‌های بازی و حدواسط به همراه مواد آذرآواری و ریولیت‌های است. سن این آتششکن بهروش پتاسیم- آرگون ۱/۵ میلیون سال برآورد شده است (Pearce et al., 1990). سن آخرین فوران آن نیز ۰/۰۲ میلیون سال تعیین شده است (Nagao et al., 1989).

### ۳- سنگ‌نگاری

تناوب سنگ‌های آذرآواری (توف و ایگنمنبریت) و گدازه‌های ریولیتی تا آندزیتی آتششکن سهند را پدید آورده‌اند که با مز دگرگشیب روی واحدهای رسوبی با سن میوسن قرار گرفته‌اند (پیرمحمدی و همکاران، ۱۳۹۰). بافت بیشتر گدازه‌های سهند پورفیریتیک و هیالومیکرولیتیک است. در متن سنگ‌های تراکی آندزیتی و آندزیتی سهند درشت‌بلورهای پلاژیوکلاز، هورنبلند، بیوتیت و اوژیت (به مقدار پلاژیوکلازها بافت غربالی وجود دارد. فلدسپار، هورنبلند، بیوتیت و آپاتیت کانی‌های فرعی و کم) خمیره سنگ‌ها را پدید آورده‌اند. اوژیت، اسفن و آپاتیت کانی‌های تجزیه‌ای در آتششکن سهند گدازه‌های داسیتی، ریوداسیتی و ریولیتی گسترش بیشتری دارند.

نمودار سنگ‌های تراکی بازالتی- تراکی آندزیتی پلوسن پایانی- کواترنری ففقار کوچک غنی از  $\text{Sr}$  و  $\text{Ba}$  هستند ولی نسبت  $\text{Sr}$  و  $\text{Ba}$  در سنگ‌های اسیدی پایین است. در نمودارهای چندعنصری، فروافتادگی‌های  $\text{Nb}$ ,  $\text{Ta}$ ,  $\text{Ti}$  و  $\text{Y}$  وجود دارد. که برای سنگ‌های اسیدی پلوسن پایانی- کواترنری این تهی شدگی قوی تر است. نمودارهای عنکبوتی بهنجارشده با گوشته اولیه (شکل ۶) برای آتشفشنانهای خاور آناتولی در نمروت، سوفان، آرارات و تنورک تهی شدگی در عناصر  $\text{Ti}$ ,  $\text{Nb}$  و  $\text{Ta}$  را نشان می‌دهند. آتشفشنان نمروت تهی شدگی کمتری از  $\text{Y}$  (میانگین ۷۶/۱۳ ppm) نسبت به دیگر آتشفشنانهای مطالعه شده در خاور آناتولی، سهند و قفقار کوچک نشان می‌دهند.

## ۵- بحث

### ۱. خاستگاه و تحولات ماقمایی

آتشفشنانهای سهند، آرارات، تنورک، نمروت، سوفان و آتشفشنانهای قفقار کوچک در آذربایجان و ارمنستان با سن ۱۲ میلیون سال تا ۱۰ هزار سال در شمال باختری ایران و در شمال زمین درز تیس جوان قرار دارند. در این میان فعالیت آتشفشنان سهند از ۱۲ میلیون سال پیش آغاز شده و تا ۱۴۰ هزار سال پیش ادامه داشته است.

تابوب سنگ‌های آذرآواری ( توف و ایگنیبریت) و گدازهای با ترکیب ریولیتی تا آندزیتی آتشفشنان سهند را پرده‌داند (معین وزیری و امین سبحانی، ۱۳۵۶؛ غیوری خسرقی، ۱۳۸۱). سنگ‌های آتشفشنانی ففقار کوچک با سن میون پایانی- کواترنری ترکیب بازالتی تا ریولیتی دارند (Veliev et al., 2010). آتشفشنان آرارات و نمروت از گدازهای بازالتی، تراکیتی و ریولیتی پدید آمدند (Pearce et al., 1990).

از دید ژئوشیمیابی ماهیت سنگ‌های آتشفشنانی شمال باختری ایران کالک‌آلکالن (سهند) تا آلکالن (تنورک) است. در نمودارهای عنکبوتی بهنجارشده با ترکیب گوشته اولیه و الگوی پراکندگی عناصر خاکی کمیاب بهنجارشده با ترکیب کندریت برای سهند ویژگی‌های همانندی با نمودارهای سنگ‌های آتشفشنانی ففقار کوچک، آرارات، نمروت، سوفان و تنورک دیده می‌شود. در نمودارهای یادشده غنی شدگی از LREE و HREE دیده می‌شود (شکل‌های ۵ و ۶).

ترکیب پوسته بالایی توسط پژوهشگران بسیاری بررسی شده است، برای نمونه می‌توان به داده‌های منتشر شده توسط (1981) Taylor & McLennan اشاره کرد. در داده‌های پژوهشگران یادشده، پوسته بالایی دارای ترکیب ( $\text{Rb}=110$ ،  $\text{La}=30$ ،  $\text{Ce}=64$ ،  $\text{Nb}=25$ ) بر حسب بخش در میلیون (ppm) است. مقایسه مقداری یادشده با مقداری این عناصر در سنگ‌های آتشفشنانی سهند، ففقار کوچک و خاور آناتولی نشان می‌دهد که ترکیب این سنگ‌های آتشفشنانی به ترکیب پوسته بالایی نزدیک است. کاهش میزان  $\text{Nb}$  در همه آتشفشنانهای مورد مطالعه دیده می‌شود و به جز تنورک که مقدار میانگین  $\text{Nb}=28/52$  ppm دارد. به باور (2003) Keskin و (2009) Kheirkhah et al. همه مراکز آتشفشنانی بالای پهنه زمین درز دارای نسبت  $\text{La}/\text{Nb}$  هستند که یا در ارتباط با آلدگی پوسته‌ای (Sen et al., 2004) و Keskin, 2003; Kheirkhah et al., 2009; (Sen et al., 2004) یا وجود یک مؤلفه فرورانش (Imamverdiyev et al., 2010) در منشأ ماقمایی مادر این آتشفشنانهای است.

در نمودار  $\text{Rb}-(\text{La/Yb})$  (شکل ۷) مشخص می‌شود که این نسبت برای آتشفشنانهای سهند و ففقار کوچک (و چند نمونه از آرارات) بیشتر از ۱۰ و برای دیگر سنگ‌های آتشفشنانی خاور آناتولی کمتر از ۱۰ است؛ بنابراین مشخص می‌شود که مقدار HREE در سهند و ففقار کوچک کمتر از دیگر آتشفشنانهای است.

پدید آورده‌اند. پلاژیوکلازهای این سنگ‌ها کشیده و پیروکسن‌های آن سوزنی می‌باشند (Kheirkhah et al., 2009). مگنتیت، آپاتیت و در برخی نمونه‌ها بیویت کانی‌های فرعی این سنگ‌ها هستند. خفره‌های خمیره بازالتی از پلاژیوکلاز، کلینوپیروکسن و کانی‌های کدر پر شده‌اند. آندزیت‌های این آتشفشنان آندزین با پهنه‌بندی و گلومروکریست‌هایی از ارتوپیروکسن و کلینوپیروکسن در خمیره نهان‌بلورین و ریولیت‌های آن شامل الگوکلاز و کلینوپیروکسن در خمیره و فلدسپار قلایی هستند (Pearce et al., 1990).

## ۴- ژئوشیمی

### ۱. نام‌گذاری شیمیابی و ژئوشیمی عناصر اصلی

بر پایه نمودار نام‌گذاری شیمیابی  $\text{SiO}_4^{4-}$  (Na<sub>2</sub>O+K<sub>2</sub>O) از Le Bas et al. (1986) سنگ‌های آتشفشنان سهند در گستره آندزیت، تراکی آندزیت و داسیت قرار می‌گیرند. سنگ‌های آتشفشنانی ففقار کوچک با سن میون پایانی- پلوسن پایینی در گستره آندزیت، داسیت، ریولیت، تراکیت و تراکیت، آندزیت، آتشفشنانی پلوسن پایانی- کواترنری ففقار کوچک و خاور آناتولی در محدوده ریولیت، تراکی داسیت، تراکیت، آندزیت، تراکی بازالت جای می‌گیرند.

### ۲. ژئوشیمی عناصر اصلی

بر پایه نمودار Na<sub>2</sub>O+K<sub>2</sub>O در برابر  $\text{SiO}_2$  از Le Bas et al. (1986) نمونه‌های آتشفشنانهای نمروت، سوفان، تنورک، برخی از نمونه‌های آتشفشنانی ففقار کوچک (تجزیه‌های شیمیابی از Imamverdiyev et al. (2010)) و ۶ نمونه از آرارات آلکالن هستند و نمونه‌های سنگ‌های آتشفشنانی سهند (به جز ۱ نمونه)، برخی از سنگ‌های آتشفشنانی آرارات (تجزیه‌های شیمیابی از Pearce et al. (1990) برگرفته شده است) و چند نمونه از ففقار کوچک و نمروت ساب آلکالن هستند (شکل ۳).

بر پایه نمودارهای  $\text{SiO}_2$  در برابر K<sub>2</sub>O از Peccarillo & Taylor (1976) سنگ‌های سهند ماهیت کالک‌آلکالن با پتانسیم متوسط تا بالا دارند. سنگ‌های آتشفشنانی ففقار کوچک و آرارات نیز مانند سنگ‌های آتشفشنان سهند ساب آلکالن با پتانسیم متوسط تا بالا هستند (شکل ۴).

### ۳. ژئوشیمی عناصر کمیاب

در بررسی نمودارهای عنکبوتی، سنگ‌های آتشفشنانی سهند در نمودار بهنجارشده LREE با ترکیب کندریت (Normalized) (Sun & McDonough, 1989) را نسبت به HREE (Yb) نشان می‌دهند. در این نمودار بی‌هنگاری منفی از Eu وجود ندارد. الگوی فراوانی عناصر خاکی کمیاب بهنجارشده با کندریت نمونه‌های ففقار کوچک نیز غنی شدگی از LREE را نسبت به HREE نشان می‌دهد. نبود بی‌هنگاری Eu در بیشتر این سنگ‌ها نشان دهنده محیط اکسیدان در هنگام تبلور و تجمع کانی‌های مافیک (آمفیبول، کلینوپیروکسن) در هنگام تجزیه است. این ویژگی همانند آتشفشنانی‌های سهند است، زیرا در نمونه‌های سهند نیز بی‌هنگاری منفی Eu دیده نمی‌شود.

در خاور آناتولی (آتشفشنانهای آرارات، نمروت، سوفان و تنورک) نمودار عناصر خاکی کمیاب بهنجارشده با کندریت (Sun & McDonough, 1989) (شکل ۵) در حالت کلی نشان دهنده غنی شدگی از LREE (Lag Ce) (Pearce et al., 1989) است. در میان این آتشفشنانها تنها نمونه‌های سوفان بی‌هنگاری منفی Eu را نشان می‌دهند.

در نمودار عنکبوتی بهنجارشده با گوشته اولیه (Sun & McDonough, 1989) برای نمونه‌های سهند غنی شدگی عناصر LREE و HREE (Yb) دیده می‌شود و عناصر Nb, Ti, Ta و Y تهی شدگی نشان می‌دهند (شکل ۶).

از (Imamverdiyev, 2010) مبنی بر وجود مؤلفه ژئوشیمیایی فورانش به ارت رسیده از زمان پیش از برخورد است.

به باور (Adamia et al. 2011) در زمان کواترنری در منطقه فقاراز کوچک گسل های فشارشی گزارش نشده اند و ماهیت کششی گسل ها در این زمان نشان دهنده جایگیری آتشفشنانهای نئوژن- کواترنری در ارمنستان و آذربایجان در امتداد همین گسل های کششی است. به این ترتیب به نظر می رسد بالآمدگی و ذوب بخشی گوشه در محیط پس از برخورد و در امتداد سامانه های گسلی موازی با کوهزایی (معین وزیری و امین سبحانی، ۱۳۵۶) عامل تشکیل ماقمای مادر آتشفشنانهای پلیوسن- کواترنری در شمال باختیر ایران بوده است. ماقمای مادر که از ذوب بخشی گوشه متاسوماتیسم شده تشکیل شده است به روشنی دارای مؤلفه ژئوشیمیایی محیط فورانش بوده است؛ بالآمدگی و جایگیری این ماقمای اولیه در پوسته سترشده پس از برخورد سبب ذوب بخشی سنگ های پوسته شده است. در چنین شرایطی آلایش دو ماقما (ماقما گوشه ای و پوسته ای) با نسبت های مختلف موجب پیدایش مؤلفه های ژئوشیمیایی پوسته ای در ماقمای مادر آتشفشنانهای پلیوسن- کواترنری فقاراز کوچک، جنوب خاور آناتولی و آتشفشنان سهند شده است.

با توجه به تعیین سن بهروش Ar/K، سن کهن ترین فعالیت آتشفشنانی مطالعه شده در این پژوهش مربوط به آتشفشنان سهند است که حدود ۱۲ میلیون سال برآورد شده است (شکل ۲)؛ (معین وزیری و امین سبحانی، ۱۳۵۶). با توجه به زمان برخورد صفحات عربی- اوراسیا (حدود ۱۳ میلیون سال)، (Dilek et al., 2010) مشخص می شود که پس از برخورد این صفحات، پوسته سترشده، بالآمد و دور جدیدی از فوران های آتشفشنانی در منطقه صورت گرفته است. بنابراین به طور مشخص می توان نتیجه گرفت که فعالیت آتشفشنانهای سهند، آرارات، نمروت، سوفان، تندور ک و فقاراز کوچک در ارتباط با برخورد صفحات عربی- اوراسی است. در شکل ۱۰ موقعیت ژئو دینامیکی آتشفشنانهای شمال باختیر ایران و منشأهای ماقمایی آنها به طور طرح گونه نمایش داده شده است.

## ۶- نتیجه گیری

- سنگ های آتشفشنانهای سهند، آرارات، فقاراز کوچک، نمروت، سوفان و تندور ک سنگ هایی با ترکیب بازالت تا ریولیت را در بر می گیرند. این سنگ های ماهیت کالک آلکالن (سهند) تا آلکالن (تندور ک) دارند.

- ویژگی غنی شدگی LREE در نمودارهای الگوی پراکندگی عناصر خاکی کمیاب آتشفشنانهای مورد ساز گار است (Williams et al., 2004; Dilek & Altunkaynak, 2007)

- سنگ های آتشفشنانی سهند و فقاراز کوچک (برخلاف دیگر سنگ های آتشفشنانی مورد مطالعه)، از ذوب بخشی سنگ های گارنت لرزولیت و سنگ های آتشفشنانی خاور آناتولی از ذوب بخشی سنگ های گوشه ای با ترکیب اسپینل لرزولیت ایجاد شده اند.

- بینهاری منفی عناصر Nb و Ta در نمودارهای چند عنصری بهنجارشده با گوشه اولیه، نشانگر وجود مؤلفه ژئوشیمیایی مربوط به محیط فورانش پیش از برخورد در ماقمای مادر سنگ های آتشفشنانی مورد مطالعه است. مقادیر بالای عناصر La, Ce, Th در سنگ های آتشفشنانی مورد مطالعه نشانگر آلدودگی پوسته ای است که در اثر جایگیری ماقمایی یادشده در پوسته و رخداد فرایند های همزمان هضم، تبلور بخشی و آلایش با مواد پوسته ای ایجاد شده اند.

- آتشفشنانهای سهند، آرارات، فقاراز کوچک، نمروت، سوفان و تندور ک در محیط زمین ساختی پس از برخورد پدید آمده اند.

به باور (Solovev, 1993) ماقمای آتشفشنانی سری ساب آلکالن می توانند از پریدویت های گوشه ای ژرف، پیرویت ها یا آمفیبولیت ها و اکلوژیت ها مشتق شده باشند. به همین دلیل کنکاش در پتروزنر سنگ های ساب آلکالن از دید تعیین موقعیت هایی که ماقما در گوشه بالای تشکیل شده است، اهمیت دارد. سنگ های آتشفشنان سهند و فقاراز کوچک نسبت به دیگر آتشفشنانهای مورد مطالعه (آرارات، نمروت، سوفان، تندور ک و میوسن پایانی- پلیوسن پایانی) فقاراز کوچک (نهی شدگی بیشتر نسبت به HREE نشان می دهدن) (شکل های ۷ و ۸).

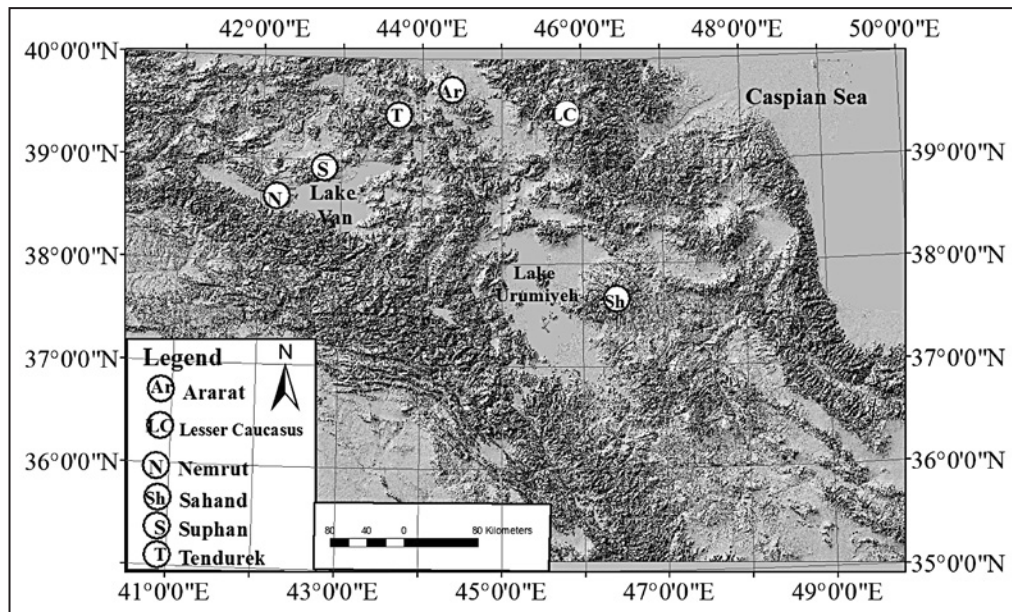
کانی گارنت ضریب پراکندگی پایینی از LREE و LILE دارد و غنی از HREE (مانند Yb و Lu) است (McKenzie & Onions, 1991)؛ همچنین گارنت کانی مقاوم در ژرفای زیاد گوشه (بیشتر از ۹۰ کیلومتر) است. بنابراین با توجه به این ویژگی ها ماقمای سازنده سهند و سنگ های آتشفشنانی فقاراز کوچک احتمالاً از گارنت لرزولیت با ذوب بخشی کم گوشه و یا اسپینل لرزولیت غنی از LREE (Imamverdiyev, 2003) و در ژرفای حدود ۹۰ تا ۱۰۰ کیلومتری منشأ گرفته اند. برخلاف آنها، دیگر آتشفشنانهای بررسی شده در این مطالعه (جنوب خاور آناتولی) از ذوب بخشی گوشه با ترکیب اسپینل لرزولیت و در ژرفای کمتر از ۸۰ کیلومتر مشتق شده اند (Ozdemir et al., 2009; Kheirkhah et al., 2006).

با توجه به مطالعه بیان شده، آتشفشنانهای مطالعه شده به این ترتیب پدید آمده اند: جایگیری ماقمای مافیک گوشه ای (بازالتی- آندریتی با مذاب بیش از ۱۰۰ درجه سانتی گراد) در پوسته زیرین موجب ذوب بخشی سنگ های زیر فشار پوسته پایینی و تشکیل مذاب جدید در این منطقه شده است. ماقمای مافیک گوشه ای تحت تاثیر محلول ها و یا مذاب های برخاسته از قطعه شکسته پوسته اقینوسی فرورانده قرار گرفته اند و ویژگی های ژئوشیمیایی شامل مقادیر پایین Nb و Ta و محتوای بالای عناصر LREE و LILE در آن ایجاد شده است. آلایش این ماقما با مذاب پوسته ای عناصر La, Ce, Th و Rb شده است.

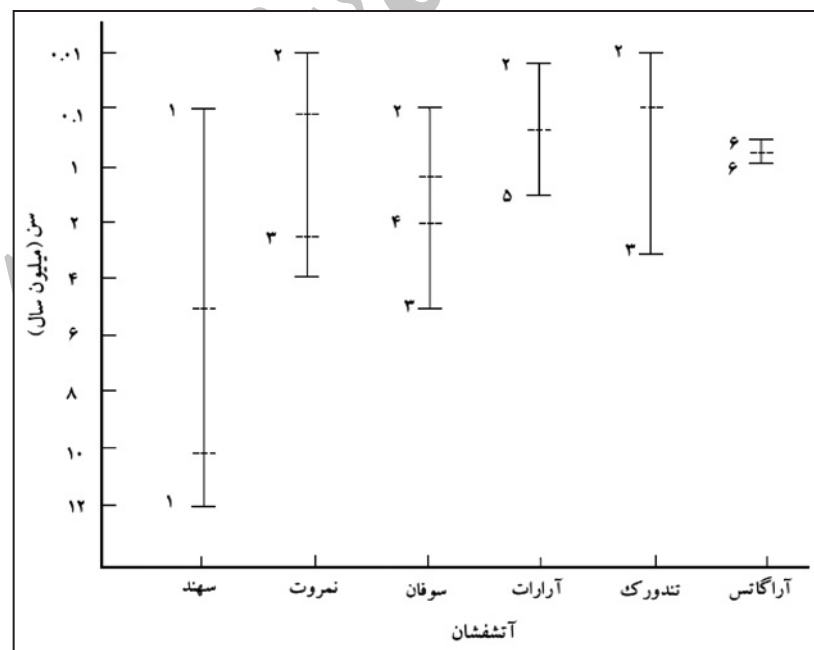
## ۵- ۲. جایگاه زمین ساختی

رفتار ژئوشیمیایی عناصر کمیاب و عناصر خاکی کمیاب آتشفشنانهای مورد مطالعه با ویژگی های ژئوشیمیایی ماقمای مادر در محیط های پس از برخورد ساز گار است (Karapetian et al. 2001) در نمودارهای الگوی پوسته ای باشد زیرا در این زمین ساختی این آتشفشنانها می توانند دلیلی بر آلدودگی پوسته ای باشد که ماقما در این مناطق که با سترشدنگی پوسته همراه هستند فرست براتای آلدودگی ماقما فراهم بوده است. ولی این سترشدنگی برخلاف نظر (Mitchell & Westaway, 1999) نمی تواند موجب تشکیل و گسترش ماقمای سازنده آتشفشنانها باشد (Dilek et al., 2010).

در نمودار Zr/Nb/Zr (شکل ۹) بیشتر نمونه های سنگ های آتشفشنانی شمال باختیر ایران در محدوده مناطق برخوردی قرار می گیرند. هر چند شماری از نمونه های آتشفشنانهای تندور ک، فقاراز کوچک، نمروت و سوفان در موقعیت میان صفحه ای هستند؛ ولی هیچ کدام از نمونه ها (به جز یک نمونه از سوفان) در محدوده مربوط به محیط فورانش قرار نگرفته اند. در بررسی هایی که توسط پژوهشگران پیشین روی آتشفشنانهای پلیوسن- کواترنری فقاراز کوچک انجام شده نیز ارتباط این آتشفشنانها با مناطق پس از برخورد تأیید شده است. در این نمودار (شکل ۹) مشخص است که شماری از نمونه های آرارات و سهند نزدیک به مرز مناطق فورانش قرار گرفته اند، این موضوع به احتمال، دلیلی بر درستی باور پژوهشگران پیشین (Keskin, 2003; Kheirkhah et al., 2009).

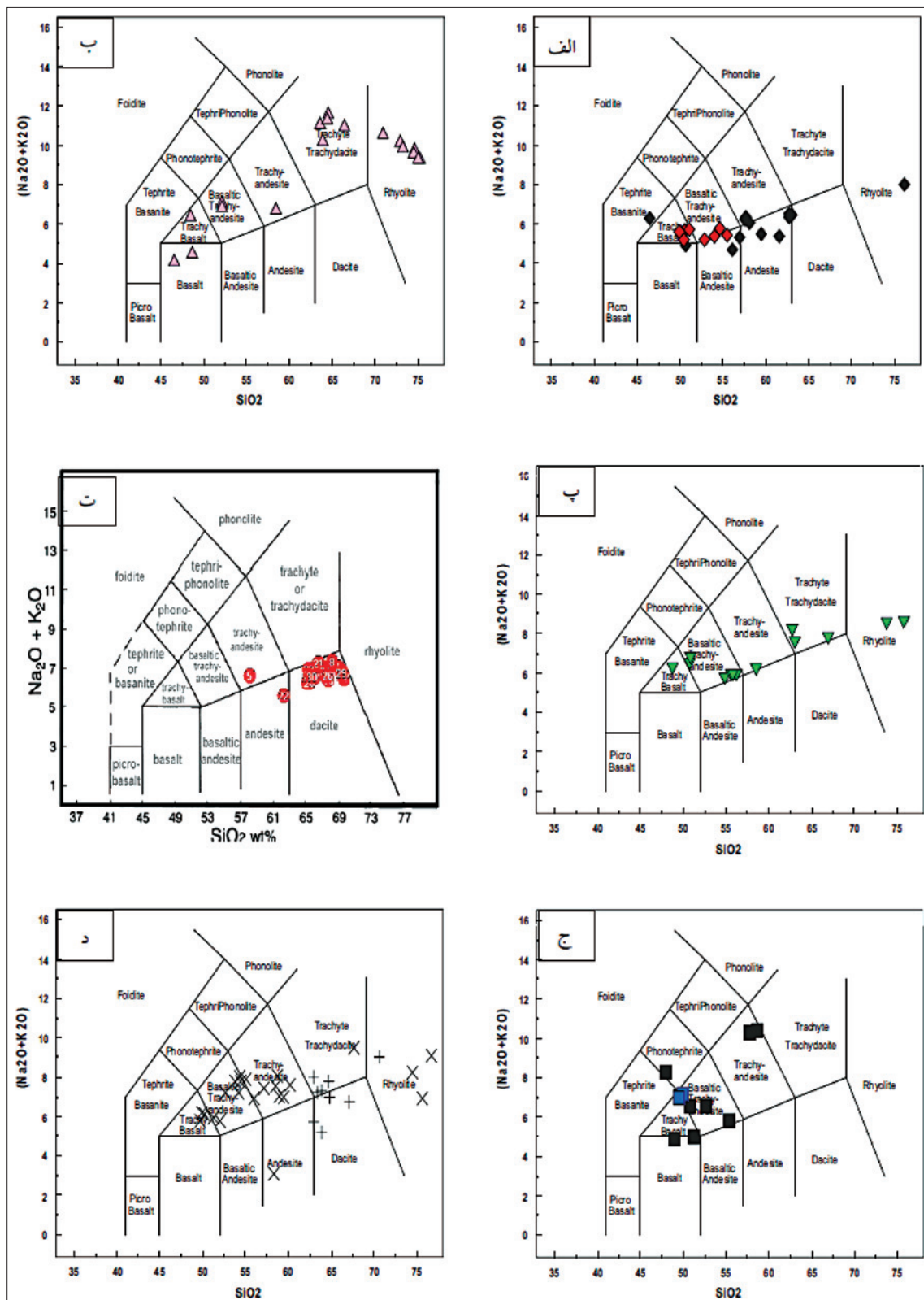


شکل ۱- موقعیت آتشفشن‌های مورد مطالعه روی تصویر توپوگرافی سهبعدی منطقه شمال باختر ایران، قفقاز کوچک و جنوب خاور آناتولی.



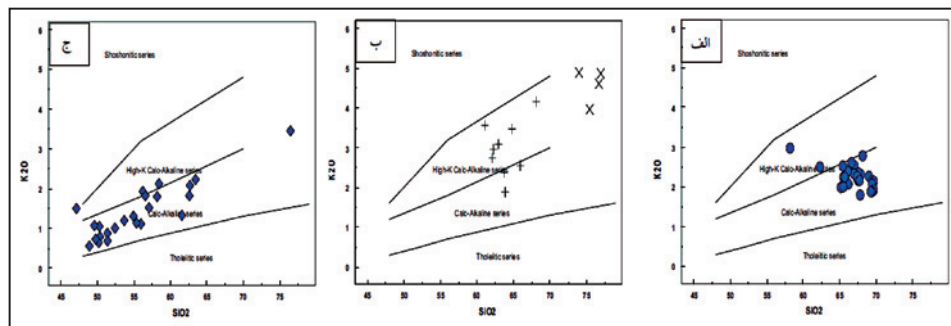
شکل ۲- سن سنجی ایزوتوبی (K/Ar) آتشفشن‌های منطقه. ۱) معین وزیری و امین سبحانی (۱۳۵۶)؛

۲) Pearce et al. (1990) ۳) Innocenti et al. (1976) ۴) Ercan et al. (1990) ۵) Nagao et al. (1989) ۶) Lebedev et al. (2011)

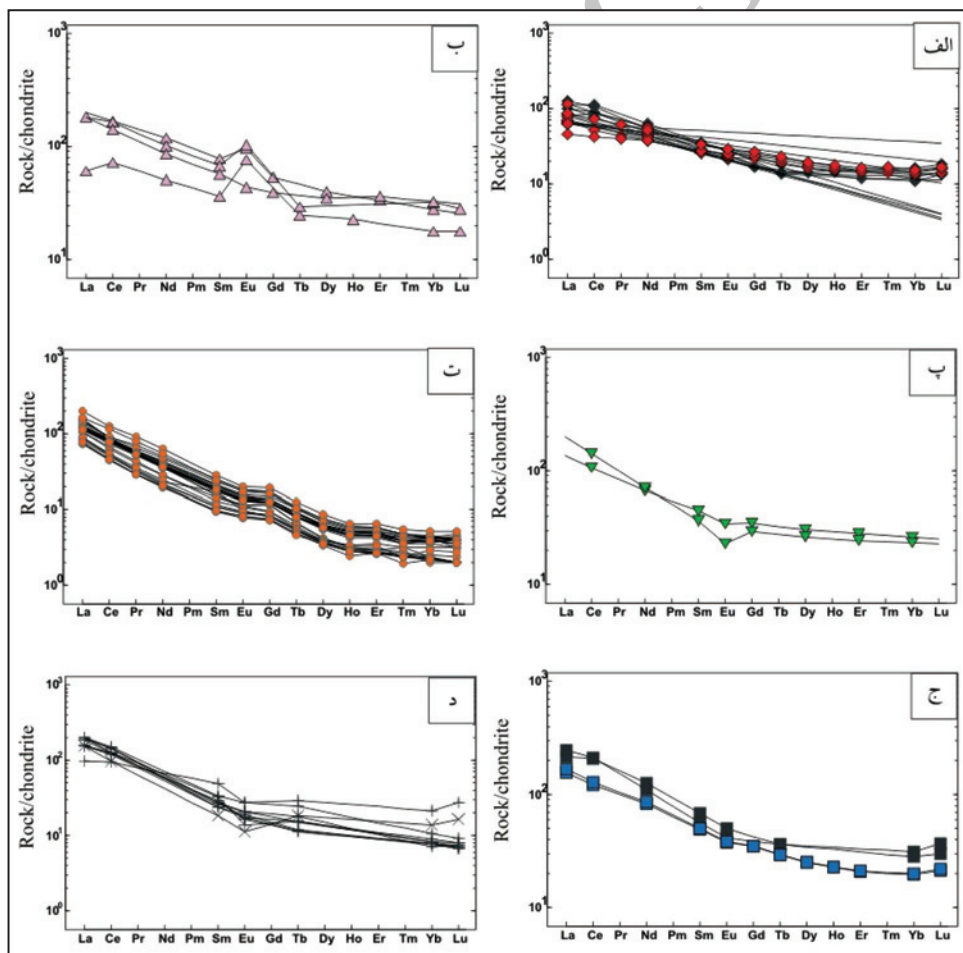


شکل-۳- نمودار سیلیس در برابر مجموع قلایابی ها برای آتشفسان های منطقه از (1986) Le Bas et al.؛ (الف) آرارات؛ (ب) نمرود؛ (پ) سوفان؛ (ت) سنهد؛ (ز) تند، که؛ (د) قفقاز؛ که حک؛ (ن) همکار، ان؛ (س) سعید؛ (س) محمدی؛ و (ق) قرقا؛ که حک؛ (۱۳۹۰) فرقان؛ (۱۴۰۰) نمرود- سه فان؛ (۱۴۰۰) Veliev et al. (2010)؛ (ج) Pearce et al. (1990).

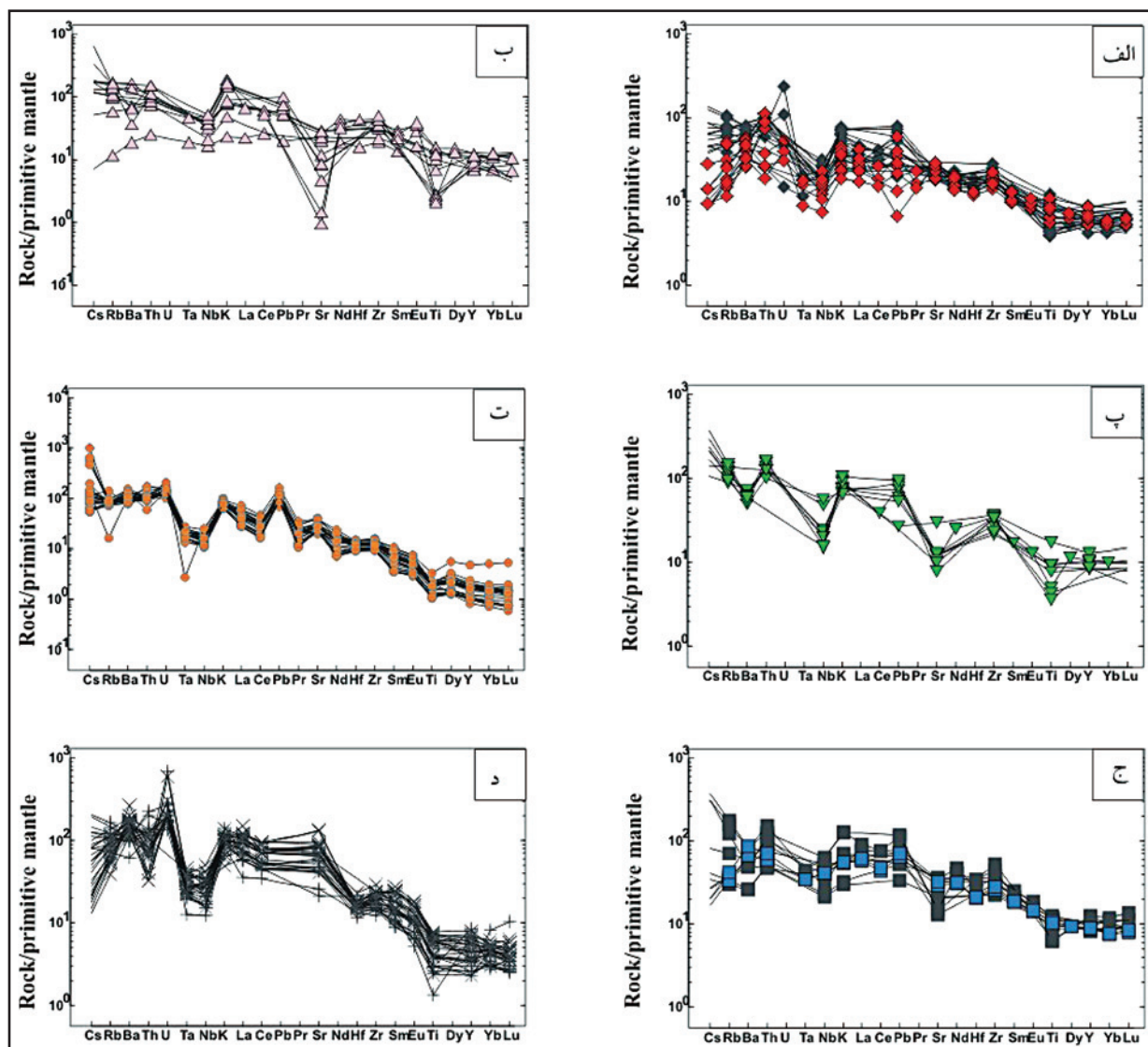
آرارات- تندورک: Kheirkhah et al. (2009) و Pearce et al. (1990) www.SID.ir



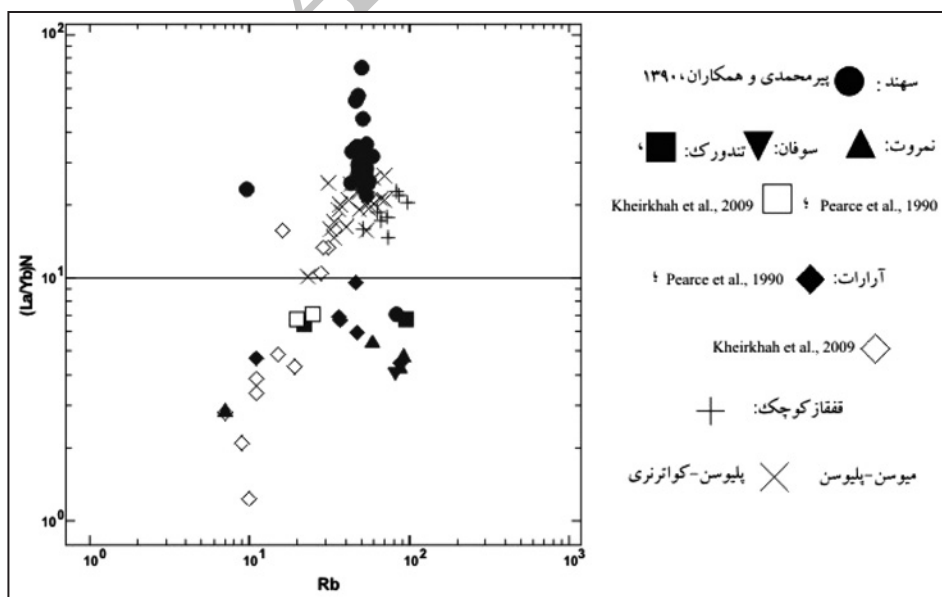
شکل ۴- نمودار از  $\text{SiO}_2\text{-K}_2\text{O}$  برای (الف) نمونه های سهند؛ ب) نمونه های کم قلایانی فقفاژ کوچک؛  
ج) نمونه های آرارات؛ نمونه های هر ۳ منطقه در گستره پاتسیم متوسط و بالا قرار می گیرند.



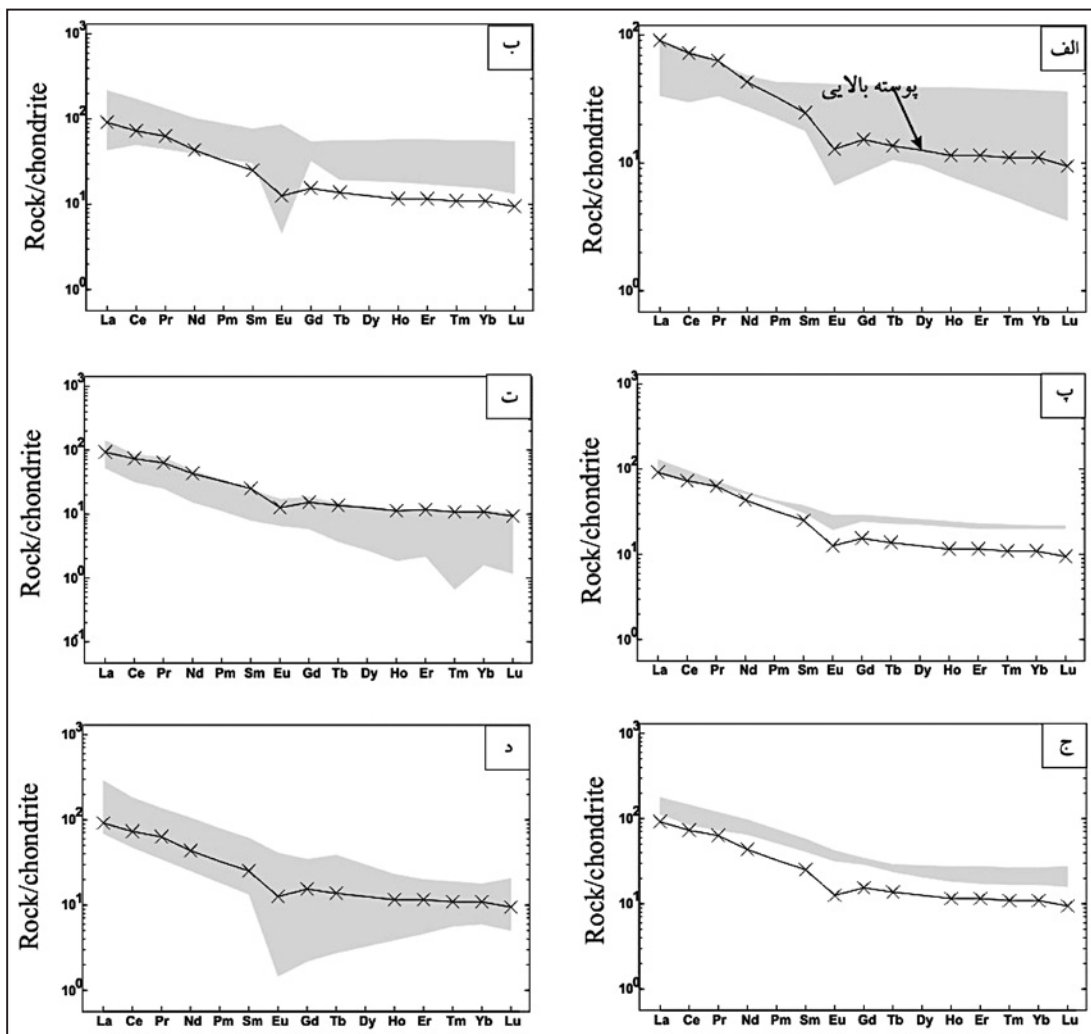
شکل ۵- نمودارهای پراکنده‌ی عناصر خاکی کمیاب نسبت به REE بهنجارشده با کندریت از  
الف) آرارات؛ ب) نمرود؛ پ) سوفان؛ ت) سهند؛ ج) تندورک؛ د) فقفاژ کوچک.  
Sun & McDonough (1989)



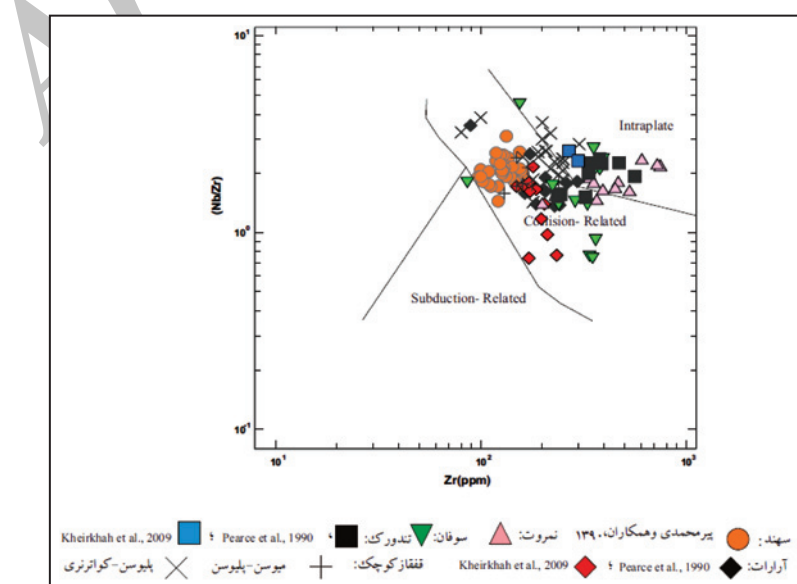
شکل ۶- نمودار عنکبوتی مقایسه عناصر خاکی کمیاب و عناصر جزیی نسبت به گوشته اویله از (Sun & McDonough 1989) (الف) آرارات، (ب) نمروت، (پ) سوفان، (ت) سهند، (ج) تندورک، (د) قفقاز کوچک.



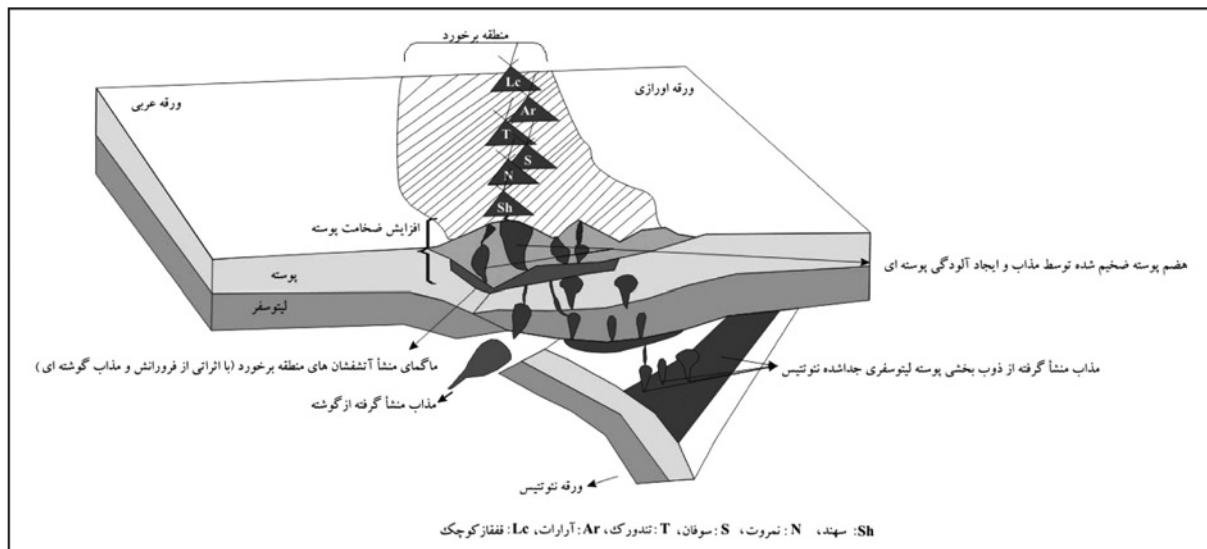
شکل ۷- نمودار  $(La/Yb)_N$  در برابر Rb برای بررسی نقش پوسته در منشأ آتشفشن‌های مورد مطالعه. برای بهنجارسازی نسبت عناصر La و Yb از داده‌های Sun & McDonough (1989) استفاده شده است. توجه شود در این نمودار مقدار Yb (به عنوان نماینده HREE) در آتشفشن‌های سهند و قفقاز کوچک از دیگر آتشفشن‌ها کمتر است.



شکل ۸- مقایسه مقدار عناصر خاکی کمیاب آشیانهای مورد مطالعه با پوسته بالایی، (الف) آرارات؛ (ب) تمروت؛ (پ) سوفان؛ (ت) سهند؛ (ج) تندورک؛ (د) قفقاز کوچک. مقدار پوسته بالایی از (Taylor & McLennan 1981)



شکل ۹- نمودار  $\text{Nb}/\text{Zr}$  در برابر  $\text{Zr}$  از Thieblemont & Tegyey (1994)؛ مقادیر بهنجارشده با (Pearce, 1983)



شکل ۱۰- موقعیت ژئodynamیکی آتشفشن‌های شمال باختری ایران و منشأهای ماگمایی آنها.

## کتابنگاری

پیرمحمدی، ف.، عامری، ع.، جهانگیری، ا.، مجتبهدی، م.، هاواچن، چ. و کسکین، م.، ۱۳۹۰- کانی‌شناسی، سنگ‌شناسی و سنگ‌زایی مجموعه آتشفشن‌انی سهند، شمال غرب ایران، مجله بلور‌شناسی و کانی‌شناسی ایران، شماره ۱۰۲، ۸۳-۱۰۲، ۱-۶۰. زینعلی، ح.، ۱۳۵۶- بررسی کانی‌شناسی و پترولولژی سنگ‌های آتشفشن‌انی منطقه سهند، پایان‌نامه کارشناسی ارشد، دانشگاه تهران، ۹۹ ص. غیوری خسرقی، ن.، ۱۳۸۱- مطالعه چینه‌شناسی، پتروگرافی و ژئوشیمیایی افق‌های ایگنتمبریتی سهند، پایان‌نامه کارشناسی ارشد، دانشگاه تربیت معلم تهران، ۱۴۷ ص. معین وزیری، ح. و امین سبحانی، ا.، ۱۳۵۶- سهند از نظر ولکانولوژی و ولکانوسیدیمتری، انتشارات دانشگاه تربیت معلم، ۵۹ ص.

## References

- Adamia, Sh., Zakariadze, G., Chkhhotua, T., Sadradze, N., Tseretteli, N., Chabukiani, A. & Gventsadze, A., 2011- Geology of the Caucasus: A Review. Turkish Jurnalof Earth Sciences, vol. 20, 498-544, doi:10.3906/yer-1005-11.
- Akats, G. & Roberston, A. H. F., 1984- The maden complex, SE Turkey: evolution of a neotethyan active margin. Geological Society, London, Special Publications, vol. 17, 375-402, 10.1144/GSL.SP.1984.017.01.27. in: Pearce, J.A., Bender, J.F., Delong, S.E., Kidd, W.S.F., Low, P.J., Guner, Y., saroglu, F., Yilmaz, Y., moorbath, S. and Mitchell, J.J., 1990. Genesis of collision volcanism in eastern Anatolia, Turkey. Journal of Volcanology and Geothermal Research, vol. 44, 189-229.
- Arutyunyan, E. V. & Lebedev, V. A., 2007- Geochronology of Neogene-Quaternary volcanism of the Geghama highland (Lesser Caucasus, Armenia), geochemistry, Doklady Earth Sciences, vol. 416, 1042-1046, doi: 10.1134/S1028334X07070136.
- Bevins, R. E., Kokelaar, B. P. & Dunkley, P. N., 1984- Petrology and geochemistry of lower to middle Ordovician igneous rocks in Wales: a volcanic arc to marginal basin transition. Proceedings of the Geologists' Association, vol. 95, 337-347, doi: 10.1016/S0016-7878(84)80064-4.
- Dilek, Y. & Altunkaynak, S., 2007- Cenozoic crustal evolution and mantle dynamics of post-collisional magmatism in western Anatolia. International Geology Review, vol. 49, 431-453, doi: 0020-6814/07/932/431-23 \$25.00.
- Dilek, Y., Imamverdiyev, N. A. & Altunkaynak, S., 2010- Geochemistry and tectonics of Cenozoic volcanism in the Lesser Caucasus (Azerbaijan) and the peri-Arabian region: collision-induced mantle dynamics and its magmatic fingerprint. International Geology Review, vol. 52, 536-578, doi: 10.1080/00206810903360422.

- Ekici, T., Alpaslan, M., Parlak, O. & Ucurum, A., 2009- Geochemistry of the middle Miocene collision-related Yamadagi (eastern Anatolia) calc-alkaline volcanic, Turkey, Turkish Journal of Earth Sciences, vol. 18, 511-528, doi: 10.3906/yer-0712-1.
- Ercan, T., Fujitani, T., Matsuda, J. I., Notsu, K., Tokel, S. & Ui, T., 1990- Dogu ve Guneydogu Anadolu Neojen-Kuvaterner volkaniklerine jeokimyasal, radiometric ve izotopik verilerin yorumu. MTA Dergisi 110, 143-164.
- Imamverdiyev, N. A. & Mamedov, M. N., 1996- Neogene-Quaternary volcanism in the Lesser Caucasus, Azerbaijan. Acta Volcanologica, vol. 8, 111-113.
- Imamverdiyev, N. A., 2003- Rare earth elements Geochemistry of Late Cenozoic volcanic series of the Lesser Caucasus. Geochemistry, vol. 41, 425-442.
- Imamverdiyev, N. A., Dilek, Y. & Gasanguliyeva, M., 2010- Late Cenozoic collision volcanism of the Lesser Caucasus: The role of lithosphere mantle and continental crust. 7th international symposium on eastern Mediterranean Geology, Department of Geological Engineering, 28 pages.
- Innocenti, F., Mazzuoli, R., Pasquare, G., Radicati di Brozolo, F. & Villari, L., 1976- Evolution of volcanism in area of interaction between the Arabian, Anatolian and Iranian plates (Lake Van, Eastern Turkey). Journal of Volcanology and Geothermal Research. Vol. 1, 103-112.
- Karapetian, S. G., Jrashyan, R. T. & Mnatsakanian, A. K., 2001- Late collision rhyolitic volcanism in the north-eastern part of the Armenian Highland. Journal of Volcanology and Geothermal research, vol. 112, 189-220, doi: 10.1016/S0377-0273(01)00241-4.
- Kaymakci, N., Inceoz, M., Ertepinar, P. & Koc, A., 2010- Late Cretaceous to recent kinematics of SE Anatolia (turkey). Geological Society of London. Vol. 340, 409-435, doi: 10.1144/SP340.18.
- Keskin, M., 2003- Magma generation by slabsteepening and backoff beneath a subductionaccretion complex: An alternative model for collision-related volcanism in Eastern Anatolia, Turkey. Geophysical Research Letters, vol. 30, 1-4, doi: 10.1029/2003GL018019.
- Kheirkhah, M., Allen, M. B. & Emami, M., 2009- Quaternary syn-collision magmatism from the Iran/Turkey borderlands. Journal of volcanology and geothermal research, vol. 182, 1-12, doi: 10.1016/j.jvolgeores.2009.01.026.
- Le Bas, M. J., Le Maitre, R. W., Streckeisen, A. & Zanettin, B., 1986- A chemical classification of volcanic rocks based on total Alkali-Silica content. Journal of petrology, v.27, 745-750, doi: 10.1093/petrology/27.3.745.
- Lebedev, V. A., Chernyshev, I. V. & Yakushev, A. I., 2011- Initial time and duration of Quaternary magmatism in the Aragats neovolcanic area (Lesser Caucasus, Armenia). geochemistry, Doklady Earth Sciences, vol. 437, 532-536, doi: 10.1134/S1028334X11040209.
- McKenzie, D. P. & Onions, R. K., 1991- Partial melt distributions from inversion of rare earth element concentrations. Journal of Petrology, vol. 32, 1021-1091, doi: 10.1093/petrology/32.5.1021.
- Michrad, A., Whitechurch, H., Ricou, L. E., Montigny, R. & Yazgan, E., 1984- Tauric subduction (Malatya-Elazig provinces) and its bearing on tectonics of the Tethyan realm in Turkey. Geological Society, London, Special Publications. Vol. 17, 361-373, doi: 10.1144/GSL.SP.1984.017.01.26.
- Mitchell, J. & Westaway, R., 1999- Chronology of Neogene and Quaternary uplift and magmatism in the Caucasus: Constraints from KAr dating of Volcanism in Armenia. Tectonophysics, vol. 304, 157-186, doi: [http://dx.doi.org/10.1016/S0040-1951\(99\)00027-X](http://dx.doi.org/10.1016/S0040-1951(99)00027-X).
- Nagao, K., Matsuda, J. I., Kita, I. & Erkan, T., 1989- Noble gas and carbon isotopic compotion in Quaternary volcanic area in Turkey. Jeomorphologi Dergisi, vol. 17, 101-110.
- Ozdemir, Y., Karaoglu, O., Tolluoglu, A. & Gulec, N., 2006- Volcanostratigraphy and petrogenesis of the nemrut stratovolcano (East Anatolian high plateau): The recent post-collision volcanism in Turkey. Chemical Geology, vol. 226, 189-211, doi: 10.1016/j.chemgeo.2005.09.020.
- Pearce, J. A., 1983- Role of the sub-continental lithosphere in magma genesis at active continental margins. In: C.J. and Norry M.J. (Editors), Continental basalts and mantle xenoliths. Shiva, Nantwich, 230-249.
- Pearce, J. A., Bender, J. F., Delong, S. E., Kidd, W. S. F., Low, P. J., Guner, Y., saroglu, F., Yilmaz, Y., Moorbat, S. & Mitchell, J. J., 1990- Genesis of collision volcanism in eastern Anatolia, Turkey. Journal of Volcanology and Geothermal Research, vol. 44, 189-229.
- Peccarillo, A. & Taylor, S. R., 1976- Geochemistry of Eocene calc-alkaline volcanic rocks from the Kastamonu area northern Turkey. Contributions to Mineralogy and Petrology, vol. 58, 63-81, doi: 10.1007/BF00384745.
- Sen, P., Temel, A. & Gourgaud, A., 2004- Petrogenetic modelling of Quaternary post-collisional volcanism: a case study of central and eastern Anatolia. Geological Magazine, vol. 141, 81-98, doi: <http://dx.doi.org/10.1017/S0016756803008550>.
- Sengor, A. M. C. & Kidd, W. S. F., 1979- Post collisional tectonics of the Turkish-Iranian plateau and a comparison with Tibet. Tectonophysics, vol. 55, 361-376.
- Sengor, A. M. C. & Yilmaz, Y., 1981- Tethyan evolution of Turkey: a plate tectonic approach. Tectonophysics, vol. 75, 181-241, doi: 10.1016/0040-1951(81)90275-4.
- Solovev, S. G., 1993- Late Paleozoic potassic subalkaline (shoshonite-latite) magmatism of the central Tien shan. International Geology Review, vol. 35, 288-304, doi: 10.1080/00206819309465530.

- Sosson, M., Rolland, Y., Muller, C., Danelian, T., Melkonyan, R., Keklia, S., Adamia, S., Babazadeh, V., Kangarli, T., Avagyan, A., Galoyan, G. & Mosar, J., 2010- Subductions, obductions and collision in the Lesser Caucasus (Armenia, Azerbaijan< Georgia), new insights. Geological Society of London, vol. 340, 329-352, doi: //dx.doi.org/10.1144/SP340.14.
- Sun, S. S. & McDonough, W. E., 1989- Chemical and isotopic systematic of oceanic basalts: implications for mantle composition and processes. Magmatism in the ocean Basins. Ed. Saunders A.D., Norry M.J. Geological Society of London Special Publication, vol. 42, 313-345, doi: 10.1144/GSL.SP.1989.042.01.19.
- Taylor, S. R. & McLennan, S. M., 1981- The composition and evolution of the continental crust: rare earth element evidence from sedimentary rocks. Philosophical Transactions of the Royal Society 309, 381-399, doi : 10.1098/rsta.1981.0119.
- Thieblemont, D. & Tegyey, M., 1994- Une discrimination geochemique des roches differentiees temoin de la diveisite d origine et de la situation tectonique das magmas. Comptes Rendus de I Academie des sciences, Paris, vol. 319, 87-94.
- Veliev, A. A., GasanKuliyeva, M. Y., Imamverdiyev, N. A. & Babayeva, G. J., 2010- Petrogenetic evolution late Cenozoic volcanism of the Lesser Caucasus. The 1<sup>st</sup> International Applied Geological Congress, Department of Geology, Islamic Azad University-Mashhad Branch, Iran, 2159-2167.
- Williams, H. M., Turner, S. P., Pearce, J. A., Kelley, S. P. & Harris, N. B. W., 2004- Nature of the source regions for post-collisional potassic magmatism in southern and northern Tibet from geochemical variations and inverse trace element modeling. Journal of Petrology 45, 555-607, doi: http://dx.doi.org/10.1093/petrology/egg094.
- Yilmaz, Y., Guner, Y. & Saroglu, F., 1998- Geology of the quaternary volcanic centres of the east Anatolia. Journal of volcanology and geothermal research, vol. 85, 173-210, doi: S0377- 0273\_98.00055-9.

Archive of SID

# Study and Comparison of Miocene-Quaternary Volcanoes in NW of Iran, Lesser Caucasus and SE of Anatolia: Geochemistry, Source and Tectonic Setting

J. Ghalamghash<sup>1\*</sup> & R. Chaharlang<sup>2</sup>

<sup>1</sup> Assistant Professor, Research Institute for Earth Sciences, Geological Survey of Iran, Tehran, Iran

<sup>2</sup> M.Sc., Research Institute for Earth Sciences, Geological Survey of Iran, Tehran, Iran

Received: 2012 August 11

Accepted: 2013 January 28

## Abstract

The Late Miocene- Quaternary volcanoes including Sahand, Ararat, Nemrut, Suphan, Tendurek and Lesser Caucasus volcanoes in the Arabia-Eurasia collision zone, are studied in this paper. The volcanoes have been erupted pyroclastic materials and lava flows with basaltic to rhyolitic composition, in several times. These volcanic rocks have calc-Alkaline (Sahand) to Alkaline nature (Tendurek). The Nb, Ta, Ti and Y depletions in accompanied with Rb, Ba, K, Sr and Th enrichments are the common geochemical features of these volcanic rocks in primitive mantle normalized multi element diagrams. In addition, enrichment of LREE relative to HREE in chondrite-normalized REE patterns is visible in all volcanic rocks of the regions. The enrichment of LREE and depletion of HREE in Sahand and Lesser Caucasus volcanic rocks is implying that their magma is derived from fraction melting of garnet-lherzolite of mantle source. In contrast, the volcanoes of eastern Anatolia melted from spinel-lherzolite rocks of mantle. The negative Nb, Ta anomalies in primitive mantle normalized multi element diagrams of volcanic rocks indicate geochemical features of Pre-collision subduction component in parental magma of studied volcanoes. High contents of La, Th, Ce and Rb indicate magma contamination during parental magma emplacement in crust accompanied with assimilation, fractional crystallization process.

**Keywords:** Miocene-Quaternary, Calc-Alkaline, Post Collision, Sahand, Lesser Caucasus, Eastern Anatolia, Turkey.

For Persian Version see pages 171 to 182

\*Corresponding author: J. Ghalamghash; E-mail: ghalamghash@yahoo.com